

УДК 532.59+539.3:534.1

## ПОВЕДЕНИЕ ПОЛУБЕСКОНЕЧНОГО ЛЕДЯНОГО ПОКРОВА ПРИ ПЕРИОДИЧЕСКОМ ДИНАМИЧЕСКОМ ВОЗДЕЙСТВИИ

Л. А. Ткачева

Институт гидродинамики им. М. А. Лаврентьева СО РАН, 630090 Новосибирск, Россия  
E-mail: tkacheva@hydro.nsc.ru

Рассматриваются колебания полубесконечного ледяного покрова в идеальной несжимаемой жидкости конечной глубины под действием локальной периодической во времени нагрузки осесимметричного вида. Ледяной покров моделируется тонкой упругой пластиной постоянной толщины. С помощью метода Винера — Хопфа построено аналитическое решение задачи. Исследована асимптотика амплитуд колебаний пластины и жидкости в дальнем поле. Показано, что распространение волн в дальнем поле неравномерно, выделяются направления, по которым волны распространяются со значительно большей амплитудой.

**Ключевые слова:** поверхностные волны, изгибно-гравитационные волны, упругая пластина, дисперсионные соотношения, преобразование Фурье, метод Винера — Хопфа.

DOI: 10.15372/PMTF20170408

Для решения многих проблем, связанных со строительством и эксплуатацией гидротехнических сооружений, необходимо исследовать динамические процессы, происходящие в ледяном покрове при внешнем механическом воздействии. Поведение бесконечного ледяного покрова, полностью покрывающего поверхность жидкости, при таких воздействиях хорошо изучено. Имеется большое число работ, посвященных исследованию поведения ледяного покрова при постоянной и периодической во времени, неподвижной и движущейся нагрузках, при нестационарном воздействии. Обзоры полученных результатов приведены в [1–9].

В случае ограниченного ледяного покрова необходимо учитывать взаимодействие изгибно-гравитационных волн с поверхностными, их отражение и преломление. Задача дифракции плоских поверхностных и изгибно-гравитационных волн на краях пластин и трещинах также достаточно хорошо изучена [10–13].

Задача о динамическом воздействии на ограниченный ледяной покров находится на начальной стадии изучения. В [14] методом конечных элементов изучалось напряженно-деформированное состояние полубесконечного ледяного покрова под действием движущейся нагрузки. В [15, 16] путем численного решения системы интегральных уравнений методом граничных элементов исследовалось воздействие периодического во времени давления на плавающую упругую пластину конечных размеров. В [17] изучалось поведение упругой плавающей пластины большого размера, моделирующей плавающий аэропорт при взлете и посадке самолета. В [18] построено решение задачи о движении нагрузки по ледяному

покрову в канале. Исследование поведения полубесконечного ледяного покрова при динамическом воздействии в приближении мелкой воды проведено в [19].

В данной работе получено аналитическое решение задачи о воздействии периодического во времени давления на полубесконечную упругую пластину, плавающую на поверхности жидкости конечной глубины. С помощью метода стационарной фазы исследована асимптотика распространения волн в дальнем поле.

**1. Постановка задачи.** Ледяной покров моделируется упругой полубесконечной пластиной постоянной толщины  $h$ , плавающей на поверхности идеальной несжимаемой жидкости конечной глубины  $H$ . Рассматриваются совместные колебания пластины и жидкости под действием приложенного в локальной области периодического во времени давления с частотой  $\omega$ :

$$q(x, y, t) = Q(x, y) e^{-i\omega t}.$$

Задача решается в линейной постановке. Введем декартову систему координат  $Oxyz$  с центром  $O$  на кромке пластины, осью  $Ox$ , перпендикулярной кромке, осью  $Oy$ , направленной вдоль кромки, и осью  $Oz$ , направленной вертикально вверх.

Потенциал скорости течения жидкости удовлетворяет уравнению Лапласа

$$\frac{\partial^2 \varphi}{\partial x^2} + \frac{\partial^2 \varphi}{\partial y^2} + \frac{\partial^2 \varphi}{\partial z^2} = 0.$$

Колебания пластины описываются уравнением

$$D \left( \frac{\partial^2 w}{\partial x^2} + \frac{\partial^2 w}{\partial y^2} \right)^2 + \rho_0 h \frac{\partial^2 w}{\partial t^2} = p + Q e^{-i\omega t}, \quad D = \frac{Eh^3}{12(1-\nu^2)}, \quad p = -\rho(\varphi_t + gw).$$

На верхней границе жидкости выполнено кинематическое соотношение

$$w_t = \varphi_z.$$

Осадка пластины в воду не учитывается. Граничные условия на верхней границе жидкости сносятся на плоскость  $z = 0$ . На свободной поверхности давление равно нулю, т. е. выполнено соотношение

$$\varphi_t + gw = 0 \quad (z = 0),$$

на дне — условие непротекания

$$\varphi_z = 0 \quad (z = -H).$$

Здесь  $w(x, y)$  — нормальный прогиб пластины или возвышение свободной поверхности;  $\rho_0, \rho$  — плотности льда и жидкости;  $p$  — гидродинамическое давление;  $g$  — ускорение свободного падения;  $D$  — цилиндрическая жесткость пластины;  $E$  — модуль Юнга;  $\nu$  — коэффициент Пуассона;  $t$  — время. Край пластины свободен:

$$\frac{\partial^2 w}{\partial x^2} + \nu \frac{\partial^2 w}{\partial y^2} = 0, \quad \frac{\partial}{\partial x} \left( \frac{\partial^2 w}{\partial x^2} + (2-\nu) \frac{\partial^2 w}{\partial y^2} \right) = 0 \quad (x = 0, \quad z = 0).$$

На бесконечности ставится условие излучения (условие отсутствия приходящих волн).

Ограничимся изучением случая осесимметричной нагрузки. Предполагается, что давление

$$Q(x, y) = \rho g H f(r_0)$$

зависит только от радиуса  $r_0 = \sqrt{(x-x_0)^2 + y^2}$ ,  $(x_0, 0)$  — центр локальной области  $r_0 < a$ , в которой приложено давление,  $f(r_0)$  — безразмерная функция. В [19] рассмотрены два вида распределения нагрузки: постоянное  $f(r_0) = C$  и давление, распределенное по параболическому закону  $f(r_0) = 1 - (r_0/a)^2$  ( $a$  — радиус области, в которой приложено давление).

Предполагалось, что сила, действующая на пластину, в обоих случаях одна и та же. Тогда в случае равномерно распределенной нагрузки  $C = 1/2$ . Показано, что характер распределения нагрузки оказывает незначительное влияние на поведение пластины, если радиус области действующей нагрузки порядка характерной длины  $l = (D/(\rho g))^{1/4}$ , зависящей от упругости пластины. Поэтому в данной работе будем рассматривать параболическое распределение давления.

**2. Метод решения.** Введем безразмерные переменные и параметры

$$x' = \frac{x}{H}, \quad y' = \frac{y}{H}, \quad z' = \frac{z}{H}, \quad \beta = \frac{D}{\rho g H^4}, \quad \lambda = \omega \sqrt{\frac{H}{g}}, \quad \delta = \frac{\rho_0 h}{\rho H} \lambda^2.$$

Далее штрихи будем опускать. Потенциал течения жидкости и прогиб пластины будем искать в виде

$$\varphi = \sqrt{gH} H \phi(x, y, z) e^{-i\omega t}, \quad w = HW(x, y) e^{-i\omega t}.$$

Тогда для функции  $\phi(x, y, z)$  получаем уравнения

$$\begin{aligned} \frac{\partial^2 \phi}{\partial x^2} + \frac{\partial^2 \phi}{\partial y^2} + \frac{\partial^2 \phi}{\partial z^2} &= 0 \quad (z < 0), \\ \phi_z &= 0 \quad (z = -1), \\ \phi_z - \lambda^2 \phi &= 0 \quad (z = 0, x < 0), \\ (\beta \Delta_2^2 + 1 - \delta) \phi_z - \lambda^2 \phi &= -i\lambda f \quad (z = 0, x > 0), \\ \left( \frac{\partial^2}{\partial x^2} + \nu \frac{\partial^2}{\partial y^2} \right) \phi_z &= 0, \quad \frac{\partial}{\partial x} \left( \frac{\partial^2}{\partial x^2} + (2 - \nu) \frac{\partial^2}{\partial y^2} \right) \phi_z = 0 \quad (x = 0, z = 0), \end{aligned} \quad (1)$$

где  $\Delta_2$  — оператор Лапласа по горизонтальным координатам.

Вводя преобразование Фурье по переменным  $x$  и  $y$ :

$$\begin{aligned} \Phi_-(\alpha, s, z) &= \int_{-\infty}^{\infty} e^{-isy} dy \int_{-\infty}^0 \phi(x, y, z) e^{i\alpha x} dx, \\ \Phi_+(\alpha, s, z) &= \int_{-\infty}^{\infty} e^{-isy} dy \int_0^{\infty} \phi(x, y, z) e^{i\alpha x} dx, \quad \Phi(\alpha, s, z) = \Phi_-(\alpha, s, z) + \Phi_+(\alpha, s, z), \end{aligned}$$

из уравнения Лапласа и условия непротекания получаем

$$\begin{aligned} \frac{\partial^2 \Phi}{\partial z^2} - (\alpha^2 + s^2) \Phi &= 0 \quad (-1 < z < 0), \\ \Phi_z &= 0 \quad (z = -1). \end{aligned}$$

Тогда

$$\Phi(z) = C(\alpha, s) Z(\alpha, s, z), \quad Z(\alpha, s, z) = \text{ch}((z+1)\sqrt{\alpha^2 + s^2}) / \text{ch}(\sqrt{\alpha^2 + s^2}). \quad (2)$$

Применяя метод Винера — Хопфа [20] и вводя функции  $D_{\pm}, G_{\pm}$  следующим образом:

$$D_-(\alpha, s) = \int_{-\infty}^{\infty} e^{-isy} dy \int_{-\infty}^0 (\phi_z - \lambda^2 \phi) e^{i\alpha x} dx,$$

$$\begin{aligned}
D_+(\alpha, s) &= \int_{-\infty}^{\infty} e^{-isy} dy \int_0^{\infty} (\phi_z - \lambda^2 \phi) e^{i\alpha x} dx, \\
G_-(\alpha, s) &= \int_{-\infty}^{\infty} e^{-isy} dy \int_{-\infty}^0 [(\beta\Delta_2^2 + 1 - \delta)\phi_z - \lambda^2 \phi] e^{i\alpha x} dx, \\
G_+(\alpha, s) &= \int_{-\infty}^{\infty} e^{-isy} dy \int_0^{\infty} [(\beta\Delta_2^2 + 1 - \delta)\phi_z - \lambda^2 \phi] e^{i\alpha x} dx,
\end{aligned}$$

из уравнений (1) получаем

$$D_-(\alpha, s) = 0, \quad G_+(\alpha, s) = -i\lambda F(\alpha, s) e^{i\alpha x_0}; \quad (3)$$

$$F(\alpha, s) = \int_{-\infty}^{\infty} dy \int_{-\infty}^{\infty} f(r) e^{i(\alpha x + sy)} dx$$

и из (2) находим

$$\begin{aligned}
D(\alpha, s) &= D_-(\alpha, s) + D_+(\alpha, s) = C(\alpha, s)K_1(\alpha, s), \\
G(\alpha, s) &= G_-(\alpha, s) + G_+(\alpha, s) = C(\alpha, s)K_2(\alpha, s),
\end{aligned} \quad (4)$$

где  $K_1(\alpha, s)$ ,  $K_2(\alpha, s)$  — дисперсионные функции для жидкости со свободной поверхностью и жидкости, находящейся под упругой пластиной:

$$\begin{aligned}
K_1(\alpha, s) &= \sqrt{\alpha^2 + s^2} \operatorname{th}(\sqrt{\alpha^2 + s^2}) - \lambda^2, \\
K_2(\alpha, s) &= [\beta(\alpha^2 + s^2)^2 + 1 - \delta] \sqrt{\alpha^2 + s^2} \operatorname{th}(\sqrt{\alpha^2 + s^2}) - \lambda^2.
\end{aligned} \quad (5)$$

Известно, что для гравитационных волн дисперсионное соотношение

$$K_1(\gamma) \equiv \gamma \operatorname{th} \gamma - \lambda^2 = 0$$

имеет два действительных корня  $\pm\gamma_0$  и счетное множество мнимых корней  $\pm\gamma_m$ ,  $m = 1, 2, \dots$ . Для изгибно-гравитационных волн под упругой пластиной дисперсионное соотношение

$$K_2(\mu) \equiv (\beta\mu^4 + 1 - \delta)\mu \operatorname{th} \mu - \lambda^2 = 0$$

имеет два действительных корня  $\pm\mu_0$ , четыре комплексных корня, которые обозначим  $\pm\mu_{-1}$ ,  $\pm\mu_{-2}$ ,  $\mu_{-2} = -\bar{\mu}_{-1}$  (черта означает операцию комплексного сопряжения), и счетное множество чисто мнимых корней  $\pm\mu_m$ ,  $m = 1, 2, \dots$ . Тогда корни дисперсионных соотношений (5) соответственно равны  $\pm\chi_m$ ,  $\pm\alpha_m$ :

$$\chi_m = \sqrt{\gamma_m^2 - s^2}, \quad \alpha_m = \sqrt{\mu_m^2 - s^2}.$$

Далее будем использовать значения корней в верхней полуплоскости. Если  $|s| < \gamma_0$ , то  $\chi_0$  — вещественный корень, в противном случае все корни чисто мнимые. Если  $|s| < \mu_0$ , то  $\alpha_0$  — вещественный корень, в противном случае все корни комплексные.

При  $x \rightarrow -\infty$  функция  $\Phi_-(\alpha, s, z)$  представляет собой линейную комбинацию функций вида

$$e^{-i(\chi_m x + sy)} \operatorname{ch}(\gamma_m(z+1)) / \operatorname{ch}(\gamma_m).$$

Следовательно, она аналитична во всей нижней полуплоскости  $\text{Im}(\alpha) < \sigma_1$ , за исключением возможного вещественного полюса в точке  $\chi_0$  ( $\sigma_1 = |\chi_1|$  при  $s \leq \gamma_0$ ,  $\sigma_1 = |\chi_0|$  при  $s > \gamma_0$ ). При  $x \rightarrow \infty$  функция  $\Phi_+(\alpha, s, z)$  представляет собой линейную комбинацию функций вида

$$e^{i(\alpha m x - s y)} \text{ch}(\mu_m(z+1)) / \text{ch}(\mu_m).$$

Следовательно, она аналитична во всей верхней полуплоскости  $\text{Im}(\alpha) > -\sigma_2$ , за исключением возможного вещественного полюса в точке  $\alpha_0$  ( $\sigma_2 = \min |\text{Im}(\alpha_m)|$ ,  $m \neq 0$  при  $s \leq \mu_0$ ,  $\sigma_2 = |\text{Im}(\alpha_0)|$  при  $s > \mu_0$ ).

Исключая из соотношений (3), (4)  $C(\alpha, s)$ , выводим уравнение

$$G_-(\alpha, s) - i\lambda F(\alpha, s) e^{i\alpha x_0} = D_+(\alpha, s) K(\alpha, s), \quad K(\alpha, s) = K_2(\alpha, s) / K_1(\alpha, s). \quad (6)$$

В соответствии с методом Винера — Хопфа факторизуем функцию  $K(\alpha, s)$ :

$$K(\alpha, s) = K_-(\alpha, s) K_+(\alpha, s)$$

(функции  $K_-$  и  $K_+$  аналитичны по  $\alpha$  соответственно в нижней и верхней полуплоскостях). Функции  $K_{\pm}(\alpha, s)$  определяются формулами

$$K_{\pm}(\alpha, s) = \frac{(\alpha \pm \alpha_{-1})(\alpha \pm \alpha_{-2})}{\mu_{-1}\mu_{-2}} \prod_{j=0}^{\infty} \frac{(\alpha \pm \alpha_j)\gamma_j}{\mu_j(\alpha \pm \chi_j)}.$$

Разделив левую и правую части уравнения (6) на  $K_-(\alpha, s)$ , получаем

$$\frac{G_-(\alpha, s)}{K_-(\alpha, s)} - i\lambda \frac{F(\alpha, s) e^{i\alpha x_0}}{K_-(\alpha, s)} = D_+(\alpha, s) K_+(\alpha, s).$$

С использованием представления [20]

$$\frac{F(\alpha, s) e^{i\alpha x_0}}{K_-(\alpha, s)} = L_-(\alpha, s) + L_+(\alpha, s), \quad L_{\pm}(\alpha, s) = \pm \frac{1}{2\pi i} \int_{-\infty \mp i\sigma}^{\infty \mp i\sigma} \frac{F(\zeta) e^{i\zeta x_0}}{K_-(\zeta, s)(\zeta - \alpha)} d\zeta,$$

где функции  $L_{\pm}$  аналитичны по  $\alpha$  соответственно в верхней и нижней полуплоскостях;  $\sigma < \min(\sigma_1, \sigma_2)$ , получаем уравнение

$$\frac{G_-(\alpha, s)}{K_-(\alpha, s)} - i\lambda L_-(\alpha, s) = D_+(\alpha, s) K_+(\alpha, s) + i\lambda L_+(\alpha, s),$$

в левой части которого содержится функция, аналитическая в нижней полуплоскости, а в правой части — функция, аналитическая в верхней полуплоскости. Следовательно, эти функции представляют аналитическую функцию во всей комплексной плоскости. Согласно теореме Лиувилля данная функция является полиномом, степень которого определяется поведением функции на бесконечности по  $\alpha$ . Имеем

$$K_{\pm}(\alpha, s) = O(|\alpha|^2), \quad L_{\pm}(\alpha, s) = O(|\alpha|^{-1}).$$

Вблизи кромки пластины градиент потенциала имеет интегрируемую особенность  $O(r^{-\eta})$  ( $\eta < 1$ ;  $r$  — расстояние до кромки пластины). Тогда при  $|\alpha| \rightarrow \infty$

$$G_-(\alpha, s) = O(|\alpha|^{\eta+3}), \quad D_+(\alpha, s) = O(|\alpha|^{\eta-1}).$$

Следовательно, степень полинома равна единице и

$$D_+(\alpha, s) K_+(\alpha, s) + i\lambda L_+(\alpha, s) = i(b_1(s)\alpha + b_2(s)),$$

где  $b_1(s)$ ,  $b_2(s)$  — неизвестные функции, которые определяются из условий на кромке пластины.

В результате получаем

$$\begin{aligned}\Phi(\alpha, s, z) &= i \frac{(b_1\alpha + b_2 - \lambda L_+(\alpha, s))Z(\alpha, s, z)}{K_+(\alpha, s)K_1(\alpha, s)}, \\ \Phi(x, s, z) &= -\frac{1}{2\pi i} \int_{-\infty}^{\infty} \frac{e^{-i\alpha x}(b_1\alpha + b_2 - \lambda L_+(\alpha, s))Z(\alpha, s, z)}{K_+(\alpha, s)K_1(\alpha, s)} d\alpha, \\ \frac{\partial \Phi}{\partial z}(x, s, 0) &= -\frac{1}{2\pi i} \int_{-\infty}^{\infty} \frac{e^{-i\alpha x}(b_1\alpha + b_2 - \lambda L_+(\alpha, s))\sqrt{\alpha^2 + s^2} \operatorname{th}(\sqrt{\alpha^2 + s^2})}{K_+(\alpha, s)K_1(\alpha, s)} d\alpha.\end{aligned}$$

Домножая при  $x > 0$  числитель и знаменатель последнего подынтегрального выражения на  $K_-(\alpha, s)$ , находим

$$\begin{aligned}\frac{\partial \Phi}{\partial z}(x, s, 0) &= \frac{\lambda}{2\pi i} \int_{-\infty}^{\infty} \frac{e^{i\alpha(x_0-x)} F(\alpha, s)\sqrt{\alpha^2 + s^2} \operatorname{th}(\sqrt{\alpha^2 + s^2})}{K_2(\alpha, s)} d\alpha - \\ &- \frac{1}{2\pi i} \int_{-\infty}^{\infty} \frac{e^{-i\alpha x}(b_1\alpha + b_2 + \lambda L_-(\alpha, s))\sqrt{\alpha^2 + s^2} \operatorname{th}(\sqrt{\alpha^2 + s^2})K_-(\alpha, s)}{K_2(\alpha, s)} d\alpha.\end{aligned}$$

Все интегралы по  $\alpha$  вычисляем с помощью теории вычетов:

$$L_-(\alpha, s) = -\sum_{m=-2}^{\infty} \frac{F(\alpha_m, s) e^{i\alpha_m x_0}}{K'_-(\alpha_m, s)(\alpha_m - \alpha)}, \quad K'_-(\alpha_m, s) = \frac{K'_2(\alpha_m, s)}{K_+(\alpha_m, s)K_1(\alpha_m, s)}. \quad (7)$$

Краевые условия на кромке пластины запишем в виде

$$\left(\frac{\partial^2}{\partial x^2} - \nu s^2\right) \frac{\partial \Phi}{\partial z}(0, s, 0) = 0, \quad \frac{\partial}{\partial x} \left(\frac{\partial^2}{\partial x^2} - (2 - \nu) s^2\right) \frac{\partial \Phi}{\partial z}(0, s, 0) = 0.$$

Подставляя в эти условия выражение для потенциала и вычисляя интегралы с помощью теории вычетов, получаем систему уравнений для определения функций  $b_1(s)$ ,  $b_2(s)$

$$\begin{aligned}\sum_{j=-2}^{\infty} \frac{(\alpha_j^2 + \nu s^2)\sqrt{\alpha_j^2 + s^2} \operatorname{th}(\sqrt{\alpha_j^2 + s^2})K_+(\alpha_j, s)(-b_1\alpha_j + b_2 + \lambda L_-(\alpha_j, s))}{K'_2(\alpha_j, s)} - \\ - \lambda \sum_{j=-2}^{\infty} \frac{(\alpha_j^2 + \nu s^2)\sqrt{\alpha_j^2 + s^2} \operatorname{th}(\sqrt{\alpha_j^2 + s^2})F(\alpha_j, s) e^{i\alpha_j x_0}}{K'_2(\alpha_j, s)} = 0, \\ \sum_{j=-2}^{\infty} \frac{\alpha_j(\alpha_j^2 + (2 - \nu)s^2)\sqrt{\alpha_j^2 + s^2} \operatorname{th}(\sqrt{\alpha_j^2 + s^2})K_+(\alpha_j, s)(-b_1\alpha_j + b_2 + \lambda L_-(\alpha_j, s))}{K'_2(\alpha_j, s)} + \\ + \lambda \sum_{j=-2}^{\infty} \frac{\alpha_j(\alpha_j^2 + (2 - \nu)s^2)\sqrt{\alpha_j^2 + s^2} \operatorname{th}(\sqrt{\alpha_j^2 + s^2})F(\alpha_j, s) e^{i\alpha_j x_0}}{K'_2(\alpha_j, s)} = 0.\end{aligned}$$

Ряды по  $j$  можно вычислить точно. Выполним подстановку

$$\sqrt{\alpha_j^2 + s^2} \operatorname{th}(\sqrt{\alpha_j^2 + s^2}) = -\frac{K_1(\alpha_j, s)}{\beta(\alpha_j^2 + s^2)^2 - \delta} \quad (8)$$

и преобразуем полученные соотношения, выражая их через вычеты в корнях многочлена в знаменателе формулы (8):

$$\eta_k = \pm(\pm\sqrt{\delta/\beta} - s^2)^{1/2}.$$

Учитывая, что  $K_+(-\eta_k, s) = K_-(\eta_k, s) = 1/K_+(\eta_k, s)$ , так как  $K(\eta_k, s) = 1$ , получаем систему линейных алгебраических уравнений второго порядка

$$\sum_{j=1}^2 A_{ij} b_j = B_i, \quad i = 1, 2, \quad (9)$$

где

$$\begin{aligned} A_{11} &= -\frac{1}{4\beta} \sum_{k=1}^2 \frac{\eta_k^2 + \nu s^2}{\eta_k^2 + s^2} \left( K_+(\eta_k, s) + \frac{1}{K_+(\eta_k, s)} \right), \\ A_{12} &= \frac{1}{4\beta} \sum_{k=1}^2 \frac{\eta_k^2 + \nu s^2}{\eta_k(\eta_k^2 + s^2)} \left( K_+(\eta_k, s) - \frac{1}{K_+(\eta_k, s)} \right), \\ A_{21} &= -\frac{1}{4\beta} \sum_{k=1}^2 \frac{\eta_k(\eta_k^2 + (2-\nu)s^2)}{\eta_k^2 + s^2} \left( K_+(\eta_k, s) - \frac{1}{K_+(\eta_k, s)} \right), \\ A_{22} &= \frac{1}{4\beta} \sum_{k=1}^2 \frac{\eta_k^2 + (2-\nu)s^2}{\eta_k^2 + s^2} \left( K_+(\eta_k, s) + \frac{1}{K_+(\eta_k, s)} \right). \end{aligned}$$

В случае параболической нагрузки

$$F(\alpha, s) = 4\pi \frac{J_2(a\sqrt{\alpha^2 + s^2})}{\alpha^2 + s^2},$$

$$\begin{aligned} B_1 &= \frac{\pi\lambda}{\beta} \sum_{m=-2}^{\infty} \frac{e^{i\alpha_m x_0} J_2(a\mu_m)}{\mu_m^2 K'_-(\alpha_m, s)} \sum_{k=1}^2 \frac{\eta_k^2 + \nu s^2}{\eta_k(\eta_k^2 + s^2)} \left( \frac{1}{K_+(\eta_k, s)(\eta_k - \alpha_m)} + \frac{K_+(\eta_k, s)}{\eta_k + \alpha_m} \right), \\ B_2 &= -\frac{\pi\lambda}{\beta} \sum_{m=-2}^{\infty} \frac{e^{i\alpha_m x_0} J_2(a\mu_m)}{\mu_m^2 K'_-(\alpha_m, s)} \sum_{k=1}^2 \frac{\eta_k^2 + (2-\nu)s^2}{\eta_k^2 + s^2} \left( \frac{1}{K_+(\eta_k, s)(\eta_k - \alpha_m)} - \frac{K_+(\eta_k, s)}{\eta_k + \alpha_m} \right). \end{aligned}$$

В этих выражениях ряды сходятся по экспоненциальному закону.

При  $s = (\delta/\beta)^{1/4}$  коэффициенты  $A_{12}$  и  $B_1$  имеют корневую особенность,  $\eta_1 = 0$ . Поэтому первое уравнение в (9) умножим на  $\sqrt{\delta/\beta} - s^2$ . Решив систему (9), находим прогиб пластины и возвышение свободной поверхности. При  $x > 0$

$$\begin{aligned} W(x, y) &= \frac{i}{\pi\lambda} \int_0^{\infty} \cos(sy) \sum_{j=-2}^{\infty} \frac{e^{i\alpha_j x} (-b_1 \alpha_j + b_2 + \lambda L_-(-\alpha_j, s))}{K'_-(\alpha_j, s) (\beta \mu_j^4 - \delta)} ds + \\ &+ 2 \int_0^{\infty} \frac{J_0(\zeta r_0) J_2(a\zeta) \operatorname{th} \zeta}{K_2(\zeta)} d\zeta, \quad r_0 = \sqrt{(x - x_0)^2 + y^2}. \end{aligned} \quad (10)$$

Так как  $\alpha_0 = 0$  при  $s = \mu_0$ , то выражение (7) для  $L_-(-\alpha_0, s)$  содержит корневую интегрируемую особенность. В результате замен  $s = \mu_0 \sin \zeta$  при  $|s| < \mu_0$  и  $s = \mu_0 \operatorname{ch} \zeta$  при  $s > \mu_0$

подынтегральная функция в первом интеграле выражения (10) становится регулярной. При  $x < 0$

$$W(x, y) = -\frac{i\lambda}{\pi} \int_0^{\infty} \cos(sy) \sum_{j=0}^{\infty} \frac{e^{-i\chi_j x} \gamma_j (b_1 \chi_j + b_2 - \lambda L_+(\chi_j, s))}{\chi_j K_+(\chi_j, s) K_1'(\gamma_j)} ds.$$

При обращении преобразования Фурье подынтегральные функции экспоненциально затухают при  $s \rightarrow \infty$ .

Как и в случае мелкой воды [19], при некоторых значениях входных параметров возможно существование колебаний, локализованных вблизи области действующей нагрузки и экспоненциально затухающих вдали от нее. При  $x_0 \gg 1$  главную часть правых частей системы (9) составляют нулевые члены, остальные члены малы. Если  $a\mu_0 = j_2$  ( $j_2$  — один из нулей функции  $J_2(x)$ ), то действующая нагрузка ортогональна распространяющейся моде. В этом случае вблизи области действия нагрузки наблюдаются колебания пластины в форме стоячих волн. Пример локализованных колебаний приведен в работе [19] для случая мелкой воды. В случае конечной глубины получены аналогичные результаты.

Найдем асимптотику дальнего поля. Используя асимптотику функций Бесселя при больших аргументах, второй член в формуле (10) при  $r_0 \rightarrow \infty$  представим в виде

$$\int_0^{\infty} \frac{J_0(\zeta r_0) J_2(a\zeta) \operatorname{th} \zeta}{K_2(\zeta)} d\zeta = i \sqrt{\frac{2\pi}{\mu_0 r_0}} \frac{J_2(a\mu_0) \operatorname{th}(\mu_0) e^{i(\mu_0 r_0 - \pi/4)}}{K_2'(\mu_0)} + o(r_0^{-1/2}).$$

В первом интеграле (10) основной вклад вносит нулевой член суммы на отрезке  $[-\mu_0, \mu_0]$ , так как остальные члены малы. Приведем первый член к виду

$$I_1 = -\frac{i\mu_0 \operatorname{th} \mu_0}{2\pi\lambda} \int_{-\mu_0}^{\mu_0} \frac{e^{i(sy+x\sqrt{\mu_0^2-s^2})} (-b_1\alpha_0 + b_2 + \lambda L_-(\alpha_0, s)) K_+(\alpha_0, s)}{K_2'(\alpha_0, s)} ds.$$

Выполнив в интеграле замену  $s = \mu_0 \sin \zeta$ , с использованием метода стационарной фазы получаем

$$I_1 = -\frac{i\mu_0^2 \operatorname{th} \mu_0}{2\pi\lambda} \sqrt{\frac{2\pi}{\mu_0 r}} e^{i(\mu_0 r - \pi/4)} \frac{b_2 - b_1 \mu_0 \cos \theta + \lambda L_-(\mu_0 \cos \theta, \mu_0 \sin \theta)}{K_2'(\mu_0)} \times \\ \times K_+(\mu_0 \cos \theta, \mu_0 \sin \theta) + O(r^{-1}), \quad x = r \cos \theta, \quad y = r \sin \theta.$$

Для возвышения жидкости в дальнем поле аналогично получаем

$$W(r, \theta) = -\frac{i\lambda\gamma_0}{2\pi K_1'(\gamma_0)} \sqrt{\frac{2\pi}{\gamma_0 r}} e^{i(\gamma_0 r - \pi/4)} \frac{b_1 \gamma_0 \cos \theta + b_2 - \lambda L_+(\gamma_0 \cos \theta, \gamma_0 \sin \theta)}{K_+(\gamma_0 \cos \theta, \gamma_0 \sin \theta)} + O(r^{-1}), \\ r \rightarrow \infty, \quad x < 0.$$

Таким образом, для амплитуд прогибов пластины и возвышения жидкости в дальнем поле справедлива формула

$$|W(r, \theta)| = A(\theta)/\sqrt{r} + O(r^{-1}).$$

**3. Результаты численных расчетов.** Проведены численные расчеты для полубесконечного ледяного покрова при следующих параметрах задачи:  $E = 6$  ГПа,  $h = 2$  м,  $\rho = 1025$  кг/м<sup>3</sup>,  $\rho_0 = 922,5$  кг/м<sup>3</sup>,  $\nu = 0,3$ ,  $a = 25$  м,  $x_0 = 50$  м. Глубина жидкости и частота действующей нагрузки менялись.

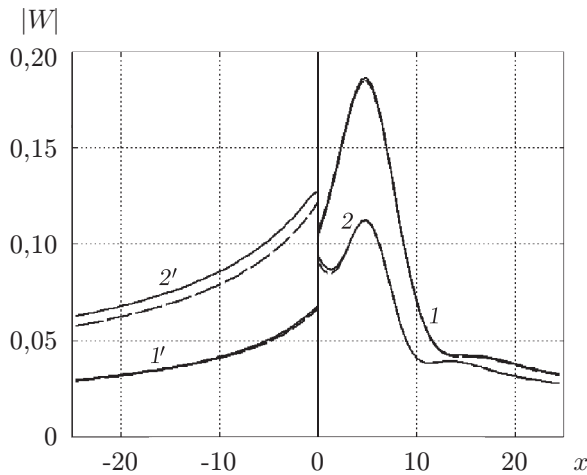


Рис. 1

Рис. 1. Зависимости амплитуд прогиба пластины (1, 2) и возвышения жидкости (1', 2') от координаты  $x$  в случае модели жидкости конечной глубины (сплошные линии) и в случае модели мелкой воды (штриховые линии) без учета осадки ( $H = 10$  м):

1, 1' —  $\omega = 0,2 \text{ с}^{-1}$ , 2, 2' —  $\omega = 0,5 \text{ с}^{-1}$

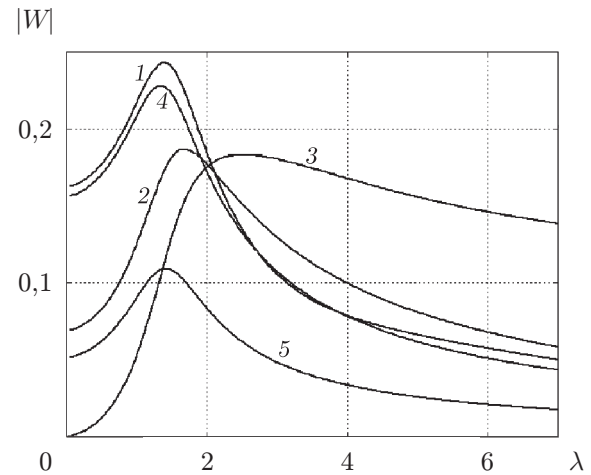


Рис. 2

Рис. 2. Зависимости от частоты амплитуд прогиба полубесконечной пластины в центре области приложения нагрузки (1) и на кромке (в начале координат) (2), возвышения жидкости вблизи кромки полубесконечной пластины (3), а также амплитуды прогиба бесконечной пластины в центре области приложения нагрузки (4) и на расстоянии  $x_0$  от него (5)

Проведено сравнение результатов расчетов, выполненных в данной работе при малой глубине жидкости и малых частотах, и соответствующих результатов, полученных с использованием теории мелкой воды [19]. На рис. 1 приведены зависимости амплитуды прогиба пластины и возвышения жидкости от координаты  $x$  ( $y = 0$ ), а также результаты расчетов, выполненных с помощью теории мелкой воды без учета осадки пластины в воду при  $H = 10$  м,  $\omega = 0,2; 0,5 \text{ с}^{-1}$ . Видно, что при малых частотах кривые совпадают, а при увеличении частоты наблюдается расхождение, особенно для амплитуд возвышения жидкости. Результаты расчетов для малых глубин приведены в [19], ниже приводятся результаты расчетов для толщины слоя жидкости, равной 100 м.

Проведенные расчеты показали, что в зависимости от положения нагрузки и частоты максимальные амплитуды прогибов пластины возникают в центре области нагружения или на кромке пластины. Если нагрузка сосредоточена вблизи кромки, то максимальные прогибы наблюдаются на ней. На рис. 2 приведены зависимости амплитуд прогиба пластины в центре области нагружения и начале координат, а также возвышения жидкости в начале координат от частоты при толщине слоя жидкости  $H = 100$  м. Для сравнения приведены амплитуды колебаний бесконечной пластины в центре области нагружения и на расстоянии  $x_0$  от него. Видно, что зависимости амплитуды колебаний от частоты являются немонотонными. В случае полубесконечной пластины амплитуды колебаний имеют максимумы приблизительно при тех же частотах, что и в случае бесконечной пластины. Из рис. 2 следует, что при малых частотах колеблется в основном пластина, при увеличении частоты вовлекается в движение жидкость, а при высоких частотах основная энергия колебательного движения передается в жидкость.

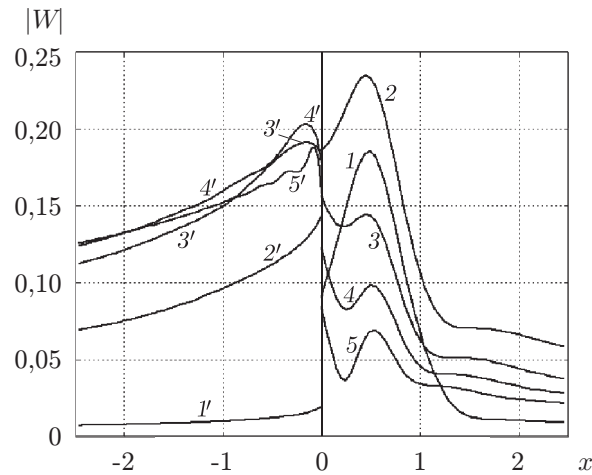


Рис. 3. Зависимости амплитуд прогиба пластины (1–5) и возвышения жидкости (1'–5') от координаты  $x$  при различных значениях частоты:  
 1, 1' —  $\omega = 0,2 \text{ c}^{-1}$ , 2, 2' —  $\omega = 0,5 \text{ c}^{-1}$ , 3, 3' —  $\omega = 0,75 \text{ c}^{-1}$ , 4, 4' —  $\omega = 1 \text{ c}^{-1}$ , 5, 5' —  $\omega = 1,5 \text{ c}^{-1}$

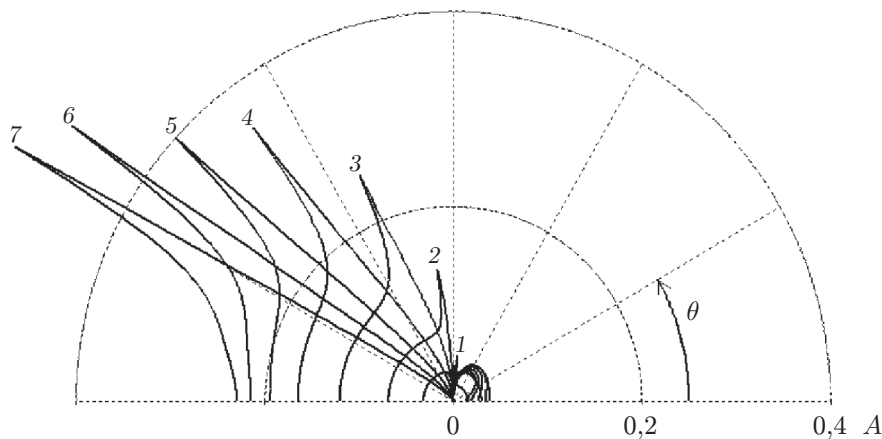


Рис. 4. Главный член асимптотики амплитуд прогиба пластины и возвышения жидкости в дальнем поле (функция  $A(\theta)$ ) при различных значениях частоты:  
 1 —  $\omega = 0,3 \text{ c}^{-1}$ , 2 —  $\omega = 0,4 \text{ c}^{-1}$ , 3 —  $\omega = 0,5 \text{ c}^{-1}$ , 4 —  $\omega = 0,6 \text{ c}^{-1}$ , 5 —  $\omega = 0,7 \text{ c}^{-1}$ ,  
 6 —  $\omega = 0,8 \text{ c}^{-1}$ , 7 —  $\omega = 0,9 \text{ c}^{-1}$

На рис. 3 показаны зависимости амплитуд прогибов пластины и возвышения жидкости от координаты  $x$  при  $y = 0$  и  $\omega = 0,20; 0,50; 0,75; 1,00; 1,50 \text{ c}^{-1}$ . На рис. 4 в полярной системе координат представлены главные члены асимптотики амплитуд прогибов пластины и возвышения жидкости в дальнем поле (диаграмма направленности) при различных частотах. Видно, что распространение волн в дальнем поле происходит неравномерно по углу. Выделяются направления, в которых распространение волн происходит со значительно большей амплитудой, чем в других направлениях. При малых частотах ( $\omega = 0,3 \text{ c}^{-1}$ ) волны с максимальной амплитудой распространяются в определенных направлениях в пластине, при остальных частотах — в определенных направлениях в жидкости.

На рис. 5, 6 показаны изолинии амплитуд колебаний пластины и жидкости при  $\omega = 0,5; 1,0 \text{ c}^{-1}$  в ближнем и дальнем полях. Видно, что в ближнем поле изгибно-

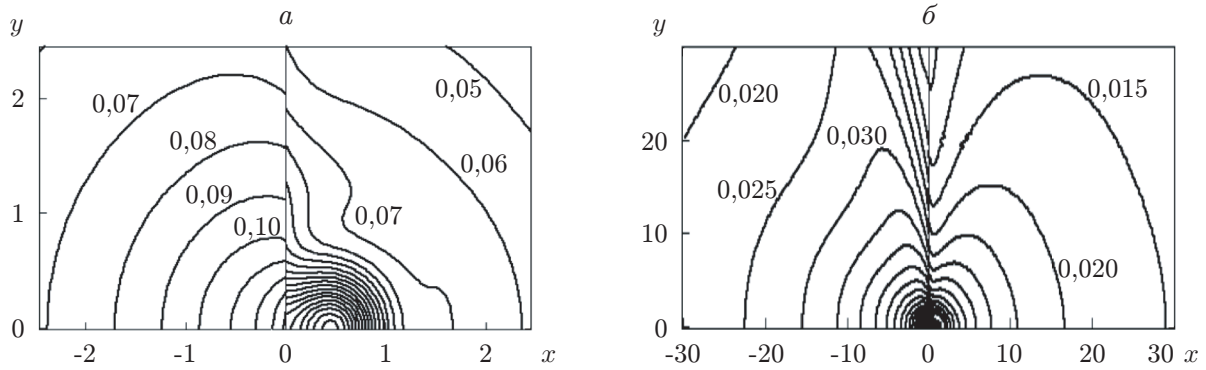


Рис. 5. Изолинии амплитуд возвышения жидкости (*слева*) и прогиба пластины (*справа*) при  $\omega = 0,5 \text{ с}^{-1}$ ,  $H = 100 \text{ м}$ :

*a* — ближнее поле с шагом между изолиниями 0,01 (на пластине — от 0,05 до 0,26, в жидкости — от 0,07 до 0,14), *б* — дальнее поле с шагом между изолиниями 0,005

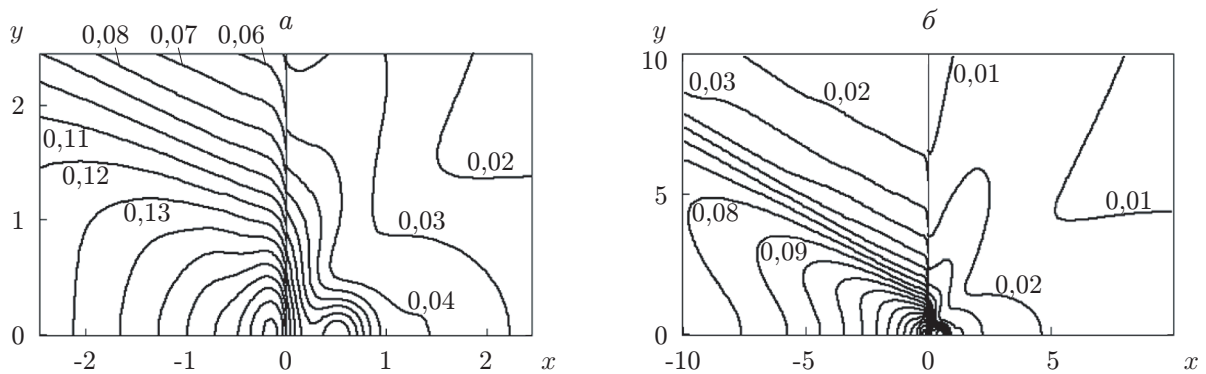


Рис. 6. Изолинии амплитуд возвышения жидкости (*слева*) и прогиба пластины (*справа*) при  $\omega = 1 \text{ с}^{-1}$ ,  $H = 100 \text{ м}$  с шагом 0,01 (на пластине — от 0,01 до 0,12, в жидкости — от 0,02 до 0,20):

*a* — ближнее поле, *б* — дальнее поле

гравитационные волны в основном распространяются вдоль края пластины, так как он свободен. Однако в дальнем поле волны преимущественно распространяются под углом к краю, поскольку при заданной частоте моды, распространяющиеся в пластине и жидкости, имеют разные волновые числа, так как удовлетворяют различным дисперсионным соотношениям. Расчеты показали, что вдоль кромки действительные и мнимые значения прогибов пластины и возвышения жидкости осциллируют и имеют приблизительно одинаковые длины волн, близкие к длине изгибно-гравитационных волн в пластине.

Если область приложенной нагрузки расположена вблизи края пластины, то амплитуды колебаний пластины и жидкости значительно больше, чем при удалении ее от края.

**Заключение.** Получено аналитическое решение задачи о воздействии локальной области периодического по времени давления осесимметричного вида на упругую полубесконечную пластину, плавающую на поверхности жидкости конечной глубины. Проанализировано поведение амплитуд колебаний пластины и жидкости в зависимости от частоты и расстояния от центра области нагружения. Зависимость амплитуды колебаний пластины от частоты является немонотонной, максимум наблюдается приблизительно на тех же частотах, что и в случае бесконечной пластины. При увеличении частоты амплитуды

колебаний пластины уменьшаются, амплитуды колебаний жидкости становятся значительно больше амплитуд колебаний пластины. В дальнем поле выделяются направления, в которых волны распространяются со значительно большей амплитудой, чем в других направлениях. При малых частотах волны с максимальной амплитудой распространяются в определенных направлениях в пластине, а при больших — в жидкости.

Автор выражает благодарность И. В. Стуровой за предложенную задачу и полезное обсуждение.

## ЛИТЕРАТУРА

1. **Хейсин Д. Е.** Динамика ледяного покрова. Л.: Гидрометеиздат, 1967.
2. **Черкесов Л. В.** Поверхностные и внутренние волны. Киев: Наук. думка, 1973.
3. **Squire V. A.** Moving loads on ice plates / V. A. Squire, R. J. Hosking, A. D. Kerr, et al. Dordrecht: Kluwer, 1996.
4. **Козин В. М.** Прикладные задачи динамики ледяного покрова / В. М. Козин, В. Д. Жесткая, А. В. Погорелова, С. Д. Чижиумов, М. Р. Джабраилов, В. С. Морозов, А. Н. Кустов. М.: Акад. естествознания, 2008.
5. **Bukatov A. E., Zharkov V. V.** Formation of the ice cover's flexural oscillations by action of surface and internal ship waves. Pt 1. Surface waves // Intern. J. Offshore Polar Engng. 1997. V. 7, N 1. P. 1–12.
6. **Squire V. A.** Synergies between VLFS hydroelasticity and sea ice research // Intern. J. Offshore Polar Engng. 2008. V. 18, N 4. P. 241–253.
7. **Lu D. Q., Dai S. Q.** Generation of transient waves by impulsive disturbances in an inviscid fluid with an ice-cover // Arch. Appl. Mech. 2006. V. 76, N 1/2. P. 49–63.
8. **Pogorelova A. V., Kozin V. M., Matiushina A. A.** Critical stresses of ice cover as fracture criterion during takeoff and landing of an airplane // Proc. of the 11th Pacific/Asia off-shore mechanics symp. PACOMS 2014, Shanghai (China), Oct. 12–16, 2014. San Francisco: Intern. Soc. Offshore Polar Engng, 2014. P. 121–126.
9. **Погорелова А. В., Козин В. М.** Движение нагрузки по плавающей пластине при переменной глубине водоема // ПМТФ. 2014. Т. 55, № 2. С. 168–179.
10. **Коузов Д. П.** Дифракция плоской гидроакустической волны на трещине в упругой пластине // Прикл. математика и механика. 1963. Т. 27, вып. 6. С. 1037–1043.
11. **Марченко А. В.** Дифракция поверхностных волн на трещине в ледяном покрове // Изв. РАН. Механика жидкости и газа. 1993. № 2. С. 93–102.
12. **Марченко А. В.** Дифракция изгибно-гравитационных волн на линейных неоднородностях в ледяном покрове // Изв. РАН. Механика жидкости и газа. 1997. № 4. С. 97–112.
13. **Evans D. V., Porter R.** Wave scattering by narrow cracks in ice sheets floating on water of finite depth // J. Fluid Mech. 2003. V. 484. P. 143–165.
14. **Жесткая В. Д., Козин В. М.** Исследования напряженно-деформированного состояния полубесконечного ледяного покрова под действием движущейся нагрузки // ПМТФ. 1994. Т. 35, № 5. С. 112–117.
15. **Стурова И. В.** Воздействие периодических поверхностных давлений на плавающую упругую платформу // Прикл. математика и механика. 2002. Т. 66, вып. 1. С. 75–86.
16. **Стурова И. В.** Влияние периодического поверхностного давления на прямоугольную упругую пластину, плавающую на мелководье // Прикл. математика и механика. 2006. Т. 70, вып. 3. С. 417–426.
17. **Kashiwagi M.** Transient responses of a VLFS during landing and take-off of an airplane // J. Marine Sci. Technol. 2004. V. 9, N 1. P. 14–23.

18. **Shishmarev K. A., Khabakhpasheva T. I., Korobkin A. A.** The response of ice cover to a load moving along a frozen channel // Appl. Ocean Res. 2016. V. 59. P. 313–326.
19. **Ткачева Л. А.** Колебания ледяного покрова под действием локальной периодической по времени нагрузки // Материалы 45-го Всерос. симп., посвящ. 70-летию Победы: Механика и процессы управления. Т. 1, г. Миасс, 22–24 дек. 2015 г. М.: Изд-во РАН, 2015. С. 102–113.
20. **Нобл Б.** Метод Винера — Хопфа для решения дифференциальных уравнений в частных производных. М.: Изд-во иностр. лит., 1962.

*Поступила в редакцию 16/VI 2016 г.,  
в окончательном варианте — 27/VII 2016 г.*

---